

**ИССЛЕДОВАНИЕ ОДНО- И ДВУХЭЛЕКТРОННОГО  
ОБМЕНА МЕЖДУ НЕЙТРАЛЬНЫМИ  
И ИОНИЗОВАННЫМИ ПРИМЕСНЫМИ ЦЕНТРАМИ  
В ПОЛУПРОВОДНИКАХ МЕТОДОМ  
МЕССБАУЭРОВСКОЙ СПЕКТРОСКОПИИ**

© В.Ф.Мастеров, Ф.С.Насрединов, С.А.Немов, П.П.Серегин

Санкт-Петербургский государственный технический университет,  
195251 Санкт-Петербург, Россия

(Получена 10 мая 1995 г. Принята к печати 17 июля 1995 г.)

Методом мессбауэровской спектроскопии обнаружен процесс быстрого одноэлектронного обмена между нейтральными и ионизованными акцепторными центрами железа в частично компенсированном GaP и процесс двухэлектронного обмена между нейтральными и ионизованными донорными центрами олова в частично компенсированном PbSe. Сделан вывод, что в обоих случаях обмен между примесными центрами осуществляется через состояния валентной зоны.

## 1. Введение

Мессбауэровская спектроскопия является эффективным методом идентификации зарядового состояния примесных атомов в полупроводниках. В частности, такие исследования были проведены для случая примесных атомов железа в соединениях типа  $A^{III}B^V$  и примесных атомов олова в халькогенидах свинца [1]. Было показано, что зарядовое состояние примесных атомов зависит от положения уровня химического потенциала в запрещенной зоне полупроводника, при этом были идентифицированы нейтральные и ионизованные примесные центры.

Однако мессбауэровская спектроскопия открывает также возможности исследования процессов электронного обмена между нейтральными и ионизованными примесными центрами в частично компенсированном материале (когда уровень химического потенциала стабилизируется в энергетической полосе, образованной примесными атомами). В настоящей работе излагаются основные экспериментальные результаты и их интерпретация для случая одно- и двухэлектронного обмена между нейтральными и ионизованными центрами (железа в GaP и олова в халькогенидах свинца). Методика измерения мессбауэровских

спектров и технология приготовления образцов описаны в [1]. Изомерные сдвиги мессбауэровских спектров  $^{57}\text{Fe}$  приводятся относительно  $\alpha\text{-Fe}$ , а спектров  $^{119}\text{Sn}$  — относительно  $\text{SnO}_2$ .

## 2. Экспериментальные результаты и их обсуждение

2.1. Одноэлектронный обмен между нейтральными и ионизованными акцепторными центрами железа в  $\text{GaP}$ . Из-за малой растворимости железа в  $\text{GaP}$  ( $\sim 2 \cdot 10^{17} \text{ см}^{-3}$ ) для исследования состояния примесных атомов железа возможно использование лишь эмиссионного варианта мессбауэровской спектроскопии: в  $\text{GaP}$  методом диффузационного легирования вводится радиоактивный изотоп  $^{57}\text{Co}$ , после распада которого образуется мессбауэровский зонд  $^{57m}\text{Fe}$ . При анализе экспериментальных результатов следует иметь в виду, что  $N_{\text{Co}} \gg N_{\text{Fe}}$  ( $N_{\text{Co}}, N_{\text{Fe}}$  — концентрации примесных атомов кобальта и железа в  $\text{GaP}$ ), так что положение уровней химического потенциала задается как концентрациями примесных атомов кобальта и дополнительной мелкой примеси, так и положением энергетических уровней, создаваемых ими. При этом, согласно электрическим и оптическим измерениям, примесные атомы кобальта и железа образуют в запрещенной зоне  $\text{GaP}$  глубокие акцепторные уровни, лежащие на несколько десятых эВ выше вершины валентной зоны [2].

Линия эмиссионного мессбауэровского спектра примесных атомов  $^{57}\text{Co}$  ( $^{57m}\text{Fe}$ ) для дырочных образцов  $\text{GaP}$  (акцепторной примесью служил цинк и уровень химического потенциала находился вблизи вершины валентной зоны) имела изомерный сдвиг  $\delta = 0.75(1)$  мм/с при 295 К ( $\delta = 0.77(1)$  мм/с при 80 К). Этот спектр отвечал нейтральным центрам железа  $[\text{Fe}]^0$  ( $\delta_n$ ) (заряд центров  $[\text{Fe}]$  дается относительно заряда замещаемых атомов галлия). Спектр примесных атомов  $^{57}\text{Co}$  ( $^{57m}\text{Fe}$ ) для перекомпенсированных электронных образцов  $\text{GaP}$  (донорной примесью служил теллур, причем  $N_{\text{Te}} > N_{\text{Co}}$ , где  $N_{\text{Te}}$  — концентрация теллура, и уровень химического потенциала находился вблизи дна зоны проводимости) имел сдвиг  $\delta = 0.36(1)$  мм/с при 295 К ( $\delta = 0.38(1)$  мм/с при 80 К). Этот спектр отвечает ионизованным центрам железа  $[\text{Fe}]^-$  ( $\delta_i$ ).

Рассмотрим ситуацию, возникающую в том случае, когда уровень химического потенциала  $\mu$  находится вблизи энергетического уровня железа  $E_{\text{Fe}}$ . Для частично компенсированного материала с примесью теллура, при условии  $N_{\text{Co}} > N_{\text{Te}}$  химический потенциал привязан к уровню кобальта  $E_{\text{Co}}$ :

$$\mu = E_{\text{Co}} - kT \ln \beta_{\text{Co}} G, \quad (1)$$

где  $\beta_{\text{Co}}$  — фактор вырождения уровня кобальта,

$$G = (N_{\text{Co}} - N_{\text{Te}} - p + n) / (N_{\text{Te}} + p - n),$$

здесь  $n, p$  — концентрации электронов и дырок. Для такого случая отношение концентраций нейтральных  $N_n$  и ионизованных  $N_i$  центров железа может быть записано

$$P = N_n / N_i = G(\beta_{\text{Co}} / \beta_{\text{Fe}}) \exp[(E_{\text{Fe}} - E_{\text{Co}})/kT], \quad (2)$$

где  $\beta_{\text{Fe}}$  — фактор вырождения уровня железа.

Таким образом, при достаточно близких величинах  $E_{Fe}$  и  $E_{Co}$ , варьируя концентрации кобальта и теллура, можно добиться значений  $P \approx 1$ . Структура мессбауэровских спектров для последнего случая будет зависеть как от частоты электронного обмена  $\nu$  между центрами  $[Fe]^0$  и  $[Fe]^-$ , так и от использованного варианта мессбауэровской спектроскопии.

1. Если время электронного обмена между  $[Fe]^0$  и  $[Fe]^-$   $\tau = 1/\nu$  много меньше времени жизни мессбауэровского уровня  $^{57m}Fe$  ( $\tau_0 \approx 10^{-7}$  с), то в аборбционном и эмиссионном мессбауэровских спектрах будет наблюдаться одна линия с изомерным сдвигом

$$\delta = (\delta_i - P\delta_n)/(P + 1). \quad (3)$$

2. Если  $\tau \gg \tau_0$ , то в аборбционном мессбауэровском спектре наблюдались бы две линии, отвечающие  $[Fe]^0$  и  $[Fe]^-$  с отношением интенсивностей, близким к  $P$ . Однако в эмиссионном мессбауэровском спектре будет наблюдаться лишь одна линия, отвечающая  $[Fe]^0$ . Это объясняется тем, что электронный захват в материнском ядре  $^{57}Co$  приводит вначале к появлению многократно заряженных ионов железа, которые за время, много меньшее  $\tau_0$ , переходят в состояние  $[Fe]^0$ , и затем медленно (за время  $\tau \gg \tau_0$ ) устанавливается равновесие между  $[Fe]^-$  и  $[Fe]^0$ . К моменту  $\tau_0$  равновесие не успевает установиться и, как следствие, в эмиссионном мессбауэровском спектре будет наблюдаться только состояние  $[Fe]^0$ .

Образцы с  $P \approx 1$  были получены нами путем диффузии (1150 °C, 3 мин)  $^{57}Co$  в монокристаллический GaP ( $p = 5 \cdot 10^{16} \text{ см}^{-3}$ ). Поверхность образца травилась в смеси HF и HNO<sub>3</sub>, удалялся приповерхностный слой толщиной 40 мкм и затем последовательно снимались слои, содержащие концентрации кобальта  $2 \cdot 10^{17}$ ,  $10^{17}$  и  $5 \cdot 10^{16} \text{ ат}/\text{см}^3$ . Эти слои служили мессбауэровскими источниками. Поскольку концентрация теллура во всех образцах была  $5 \cdot 10^{16} \text{ ат}/\text{см}^3$ , величина отношения  $G$  в них изменялась от 2.92 до 0, а уровень химического потенциала перемещался от середины запрещенной зоны (при  $G = 0$ ) до положения на несколько  $kT$  ниже  $E_{Co}$  (при  $G = 2.92$ ).

Мессбауэровские спектры при 295 K для всех указанных слоев представляют собой одиночные, несколько уширенные линии ( $\Gamma = 0.050(2)$  мм/с) с изомерным сдвигом, уменьшающимся по мере увеличения  $G$  (рис. 1). На рис. 2 представлена теоретическая зависимость  $\delta$  от  $P$ , а экспериментальные данные удовлетворяют теоретической зависимости (3), если параметр  $(\beta_{Co}/\beta_{Fe}) \exp[(E_{Fe} - E_{Co})/kT] = 0.30(3)$ . Полагая  $\beta_{Co}/\beta_{Fe} = 1$  (поскольку эта величина не может сильно отличаться от 1), получим  $E_{Fe} = E_{Co} - 0.031(3)$  эВ.

Таким образом, экспериментальные данные свидетельствуют о наличии быстрого ( $\tau \ll \tau_0$ ) электронного обмена между нейтральными и ионизованными центрами железа. Этот обмен можно представить как захват центром  $[Fe]^-$  дырки с последующим ее забросом в валентную зону. Для такого процесса время жизни ионизованного центра  $[Fe]^- \tau$ ; определяется скоростью захвата этим центром дырки:

$$\tau_i = 1/p\sigma V, \quad (4)$$

где  $p$  — концентрация дырок,  $V$  — их тепловая скорость,  $\sigma$  — сечение захвата дырки центром  $[Fe]^-$ .

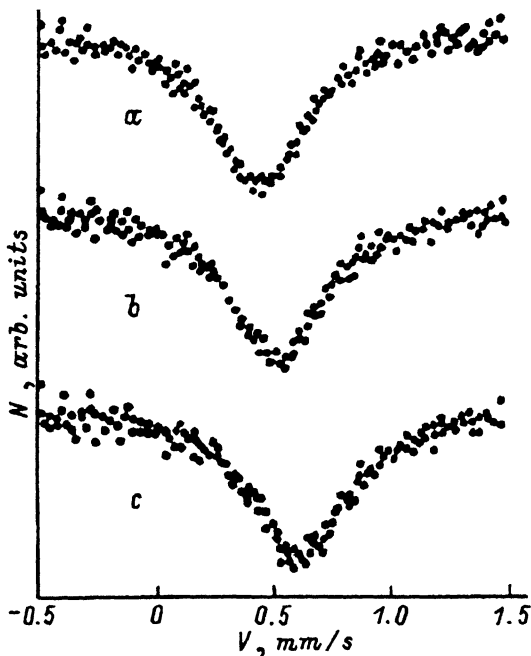


Рис. 1. Эмиссионные мессбауэровские спектры примесных атомов  $^{57}\text{Co}(^{57\text{m}}\text{Fe})$  в GaP ( $n = 5 \cdot 10 \text{ см}^{-3}$ ) при 295 К. Концентрация кобальта, ат/см $^{-3}$ : а —  $2 \cdot 10^{17}$ , б —  $10^{17}$  и с —  $5 \cdot 10^{16}$ .

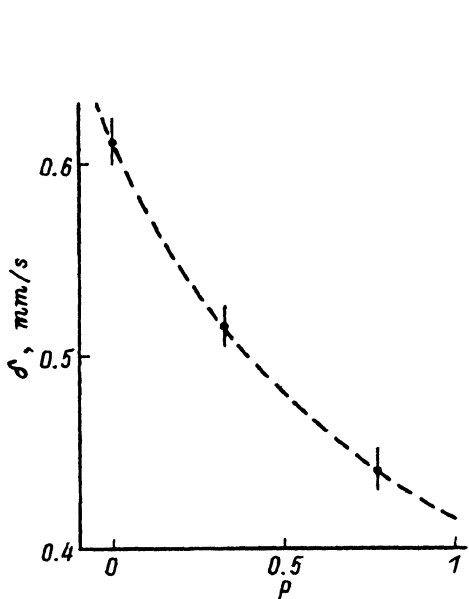


Рис. 2. Теоретическая (пунктирная) и экспериментальная (точки) зависимости изомерного сдвига  $\delta$  от концентрации нейтрального ионизованного состояний центров железа в GaP.

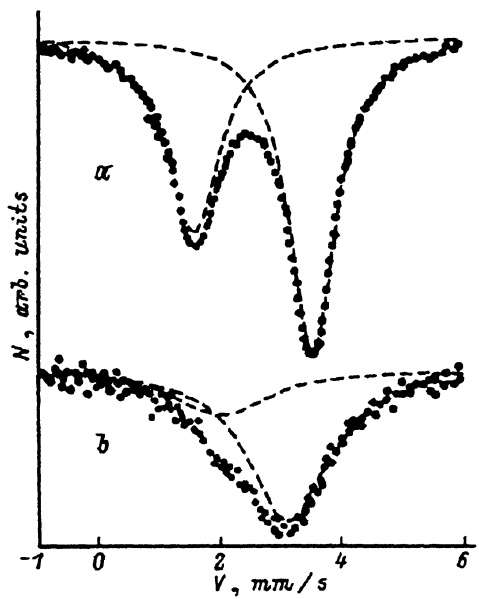


Рис. 3. Абсорбционные мессбауэровские спектры примесных атомов  $^{119}\text{Sn}$  в  $\text{Pb}_{0.963}\text{Sn}_{0.017}\text{Na}_{0.01}\text{Tl}_{0.01}\text{Se}$  при 80 К (а) и 295 К (б).

Согласно холловским измерениям, для исследованных образцов  $p = 10^{15} \text{ см}^{-3}$ ,  $V = 10^7 \text{ см}/\text{с}$  и, используя  $\sigma = 10^{-13} \text{ см}^2$  (нижний предел для сечения захвата дырки кулоновским центром), получим  $\tau_i = \tau_n = 10^{-9} \text{ с}$  (здесь  $\tau_n$  — время жизни центра  $[\text{Fe}]^0$ ), т. е. за время  $\tau_0$  происходит более  $10^2$  актов перезарядки центров железа и в мессбауэровском спектре наблюдается «усредненное» состояние примесных центров железа.

Следует иметь в виду, что в запрещенной зоне GaP имеются не только основные, но и возбужденные состояния уровней, образованных центрами железа [3]. Однако учет этих состояний может привести только к увеличению скорости электронного обмена по сравнению со случаем, обсуждавшимся выше, т. е. к более быстрому переходу в основное состояние центров железа. Поэтому полученная нами оценка относительного положения уровней железа и кобальта относится к их основным состояниям.

Мы попытались уменьшить частоту электронного обмена путем понижения температуры измерения спектров. Однако при 80 К спектры всех слоев представляли собой одиночные линии, отвечающие центрам  $[\text{Fe}]^-$  ( $\delta = 0.61(1) \text{ мм}/\text{с}$ ). Очевидно, это свидетельствует не о замедлении процесса электронного обмена (в случае  $\tau \gg \tau_0$  в эмиссионном мессбауэровском спектре наблюдалось бы только состояние  $[\text{Fe}]^0$ ), а о температурном сдвиге уровня химического потенциала (см. соотношение (1)), так что при 80 К все центры железа оказываются в ионизованном состоянии.

## 2.2. Двухэлектронный обмен между нейтральными и ионизованными донорными центрами олова в PbSe и PbS.

2.2.1. Селенид свинца. Для исследований были синтезированы образцы PbSe, легированные оловом и дополнительной донорной (сверхстехиометрический свинец) или акцепторной (натрий и галлий) примесью, причем расчет исходной шихты составлялся исходя из предположения, что олово, натрий и галлий замещают атомы свинца:  $\text{Pb}_{1-x-y}\text{Sn}_x\text{A}_y\text{Se}$  (здесь A — натрий или галлий).

Согласно [1], примесные атомы олова образуют в PbSe систему глубоких двухэлектронных донорных уровней, расположенных в валентной зоне. Только нейтральные центры олова  $[\text{Sn}]^0$  (заряд центров, обозначенных  $[\text{Sn}]$ , приводится относительно атомов свинца) обнаруживаются в электронных образцах PbSe:Sn (донором служат дефекты структуры, появляющиеся при введении избыточного свинца). Изомерный сдвиг мессбауэровских спектров таких образцов слабо зависит от температуры и соответствует двухвалентному олову  $\text{Sn}^{2+}$  (см. таблицу). С другой стороны, только двукратно ионизованные центры олова  $[\text{Sn}]^{2+}$  обнаруживаются в перекомпенсированных дырочных образцах  $\text{Pb}_{1-x-y}\text{Sn}_x\text{A}_y\text{Se}$  ( $x = 0.05$ ,  $y = 0.02$ ), причем изомерный сдвиг мессбауэровских спектров слабо зависит от температуры и соответствует четырехвалентному олову  $\text{Sn}^{4+}$  (см. таблицу).

Для изучения электронного обмена между центрами олова был синтезирован образец с составом, соответствующим  $x = 0.017$ ,  $y = 0.02$ , содержащий примерно одинаковые концентрации центров  $[\text{Sn}]^{2+}$  и  $[\text{Sn}]^{4+}$ . Концентрация дырок в образце  $p = 3 \cdot 10^{19} \text{ см}^{-3}$  оставалась неизменной в

Состав образца	Sn <sup>2+</sup>				Sn <sup>4+</sup>			
	<i>T</i> , K				<i>T</i> , K			
	80	295	80	295	80	295	6	Γ
δ	Γ	δ	Γ	δ	Γ	R	δ	Γ
Pb <sub>0.99</sub> Sn <sub>0.01</sub> Se	3.65	0.77	3.63	0.77	1.52	0.76	1.50	0.77
Pb <sub>0.975</sub> Sn <sub>0.025</sub> Na <sub>0.01</sub> Tl <sub>0.01</sub> Se	3.53	0.92	3.13	1.56	1.58	1.05	1.38	2.05
Pb <sub>0.963</sub> Sn <sub>0.017</sub> Na <sub>0.01</sub> Tl <sub>0.01</sub> Se	3.60	0.96	3.12	1.62	1.57	1.07	1.3	1.98
Pb <sub>0.963</sub> Sn <sub>0.017</sub> Na <sub>0.01</sub> Tl <sub>0.01</sub> Se	3.55	0.91	3.12	1.46	1.59	1.05	1.25	2.01
Pb <sub>0.98</sub> Sn <sub>0.01</sub> Na <sub>0.01</sub> Se	3.70	0.77	3.65	0.76	1.25	0.78	1.23	0.77
Pb <sub>0.99</sub> Sn <sub>0.01</sub> S								
Pb <sub>0.97</sub> Sn <sub>0.01</sub> Na <sub>0.01</sub> Tl <sub>0.01</sub> S	3.70	0.81	3.60	0.87	1.25	0.83	0.93	1.37
Pb <sub>0.96</sub> Sn <sub>0.02</sub> Na <sub>0.01</sub> Tl <sub>0.01</sub> S	3.76	0.84	3.68	0.89	1.26	0.83	0.91	1.32
Pb <sub>0.96</sub> Sn <sub>0.017</sub> Na <sub>0.02</sub> Na <sub>0.01</sub> Tl <sub>0.01</sub> S	3.69	0.80	3.62	0.85	1.24	0.82	0.95	1.36
Pb <sub>0.98</sub> Sn <sub>0.01</sub> Na <sub>0.01</sub> S								

Примечание. Погрешность в определении  $\delta$  и  $\Gamma$  равна  $\pm 0.02$  мм/с, в определении  $R$  —  $\pm 0.05$ .

интервале от 80 до 295 К, что соответствует вырожденному дырочному газу. При наличии электронного обмена между ионами  $[Sn]^{2+}$  и  $[Sn]^{4+}$  каждый центр олова часть времени пребывает в нейтральном ( $\tau_n$ ), а часть времени — в ионизованном ( $\tau_i$ ) состояниях. Если время жизни центров олова в каждом из этих состояний много больше времени жизни мессбауэровского уровня ядра  $^{119}Sn$  ( $\tau_0 = 20$  нс), то мессбауэровский спектр будет представлять собой суперпозицию спектров  $[Sn]^0$  и  $[Sn]^{2+}$ , причем отношение площадей под соответствующими линиями ( $J_n$  и  $J_i$ ) определяется как

$$R = J_n/J_i = f_n \tau_n / f_i \tau_i, \quad (5)$$

где  $f_n$ ,  $f_i$  — коэффициенты Мессбауэра для центров  $[Sn]^0$  и  $[Sn]^{2+}$  соответственно.

Если же величины  $\tau_n$  и  $\tau_i$  становятся меньше  $\tau_0$ , то линии  $[Sn]^{2+}$  и  $[Sn]^0$  в мессбауэровском спектре должны сближаться и в пределе быстрого электронного обмена ( $\tau_n, \tau_i \ll \tau_0$ ) в спектре будет наблюдаться одиночная линия, соответствующая «усредненному» состоянию центра олова с изомерным сдвигом

$$\delta = (\delta_i - R\delta_n)/(R + 1). \quad (6)$$

Как видно из рис. 3, мессбауэровские спектры образца с  $x = 0.017$ ,  $y = 0.02$  при 80 и 295 К представляют собой суперпозицию двух одиночных линий, отвечающих ионам  $Sn^{2+}$  и  $Sn^{4+}$ , но изомерные сдвиги этих линий существенно зависят от температуры (см. таблицу). При 80 К изомерные сдвиги линий  $Sn^{2+}$  и  $Sn^{4+}$  для данного образца близки к изомерным сдвигам описанных выше центров  $[Sn]^0$  и  $[Sn]^{2+}$ , хотя и наблюдается незначительное сближение линий  $Sn^{2+}$  и  $Sn^{4+}$ . Это свидетельствует о том, что при 80 К в PbSe реализуется ситуация медленного электронного обмена между центрами  $[Sn]^0$  и  $[Sn]^{2+}$  ( $\tau_n, \tau_i > \tau_0$ ). Повышение температуры сопровождается резким сближением линий  $Sn^{2+}$  и  $Sn^{4+}$ . Этот факт однозначно указывает на протекание электронного обмена между состояниями  $[Sn]^0$  и  $[Sn]^{2+}$ , причем характерное время обмена между состояниями оказывается порядка  $\tau_0$ , поскольку в спектре наблюдается не одна линия «усредненного» состояния, а сохраняются отдельные линии  $Sn^{2+}$  и  $Sn^{4+}$ . Подчеркнем, что для центров  $[Sn]^0$  и  $[Sn]^{2+}$  изомерные сдвиги слабо зависят от температуры и поэтому наблюдавшееся для спектра указанного выше образца сближение линий при повышении температуры нельзя объяснить температурной зависимостью изомерного сдвига каждого из состояний  $[Sn]^0$  и  $[Sn]^{2+}$ . Наконец, отметим, что обнаруженный электронный обмен между центрами  $[Sn]^{2+}$  и  $[Sn]^0$  отражает перенос одновременно двух электронов, поскольку, как видно из экспериментальных мессбауэровских спектров, указанный обмен не приводит к появлению однократно ионизованного центра  $[Sn]^+$  (он соответствовал бы трехвалентному олову  $Sn^{3+}$ ).

В принципе возможны два механизма электронного обмена между центрами олова: туннельный перенос электронов непосредственно между ионами олова и обмен между центрами олова с использованием со-

стоянной валентной зоны. Скорость электронного обмена в первом случае должна зависеть от концентрации олова. Был приготовлен образец состава  $PbSe : \{Sn, A\}$  ( $x = 0.01$ ,  $y = 0.01$ ). Оказалось, что для него ширина и положение линий мессбауэровских спектров  $Sn^{2+}$  и  $Sn^{4+}$  совпадают с параметрами соответствующих спектров, полученными для образца с  $x = 0.017$ ,  $y = 0.02$  (см. таблицу). Следовательно, частота электронного обмена практически не зависит от концентрации олова и можно пренебречь обменом непосредственно между центрами  $[Sn]^0$  и  $[Sn]^{2+}$ .

Отметим, что уровни олова в  $PbSe$  лежат в валентной зоне; но температурная зависимость частоты обмена и указывает на необходимость затрат энергии для перехода электронов между локализованными состояниями центров олова и делокализованными состояниями валентной зоны, что эквивалентно существованию энергетического барьера между ними.

Очевидно, для примесных центров олова в  $PbSe$  существует возможность экспериментальной проверки высказанного в разд. 2.1 положения о различии в структуре абсорбционных и эмиссионных мессбауэровских спектров в случае медленного электропшого обмена. Действительно, конвертированный изомерный переход с энергией 65 КэВ в  $^{119m}Sn$ , который предшествует мессбауэровскому переходу и сопровождается оже-процессом, приводит к возникновению высокозарядных состояний олова. Эти состояния на время  $\tau_0$ , много меньшее времени жизни мессбауэровского уровня  $^{119m}Sn$ , переходят в состояние  $Sn^{4+}$ . Поскольку при 80 К для образца с  $x = 0.017$ ,  $y = 0.02$  время установления равновесия  $\tau$  между состояниями  $[Sn]^{2+}$  и  $[Sn]^0$  много больше  $\tau_0$ , в эмиссионном мессбауэровском спектре образца указанного состава при 80 К должна наблюдаться только линия  $Sn^{4+}$ . При 295 К  $\tau \approx \tau_0$  и в эмиссионном мессбауэровском спектре должны наблюдаться обе линии ( $[Sn]^{2+}$  и  $[Sn]^0$ ), однако интенсивность линии  $[Sn]^0$  будет существенно меньше, чем в абсорбционном спектре образца того же состава.

Для проверки этих заключений с использованием радиоактивного изотопа  $^{119m}Sn$  был синтезирован образец с составом  $x = 0.017$ ,  $y = 0.02$  и измерены его эмиссионные мессбауэровские спектры при 80 и 295 К. Как видно из таблицы, структура эмиссионных спектров близка к таковой для абсорбционных мессбауэровских спектров, а обработка экспериментальных спектров также показала их близость.

Может быть две причины аномального поведения эмиссионных мессбауэровских спектров: различие в локальном окружении центров  $[Sn]^0$  и  $[Sn]^{2+}$  и наличие особого механизма установления равновесия между центрами олова, действующего для случая первоначально ионизованных атомов олова. Естественной причиной различия в локальном окружении центров  $[Sn]^0$  и  $[Sn]^{2+}$  может быть образование ассоциатов ионов  $Sn^{4+}$  с ионизованными акцепторами. Мы попытались обнаружить существование таких ассоциатов путем измерения ширины спектральной линии  $^{119}Sn$  для образцов с составом  $x = 0.01$ ,  $y = 0$  (в них присутствуют только центры  $[Sn]^0$ ) и с составом  $x = 0.005$ ,  $y = 0.02$  (в них присутствуют только центры  $[Sn]^{4+}$ ). Наличие указанных ассоциатов должно приводить по крайней мере к уширению спектра второго

образца. Однако, как видно из таблицы, для обоих спектров ширина линии оказалась одинаковой и равной аппаратурной ширине. Следовательно, наиболее вероятным представляется существование особого механизма установления равновесия между центрами  $[Sn]^0$  и  $[Sn]^{2+}$ , образовавшимися в результате процесса нейтрализации высокозаряженных атомов олова.

2.2.2. Сульфид свинца. Как и в случае PbSe, для PbS состав исходной шихты соответствовал формуле  $Pb_{1-x-y}Sn_xA_yS$ , предполагающей, что примесные атомы олова и акцепторные примеси A (натрий и галлий) замещают атомы свинца.

Согласно данным [1], примесные атомы олова образуют в PbS систему глубоких двухэлектронных уровней, лежащих в нижней половине запрещенной зоны. Только нейтральные донорные центры олова  $[Sn]^0$  обнаруживаются в электронных образцах с  $x = 0.01$ ,  $y = 0$ : изомерный сдвиг спектра соответствует  $Sn^{2+}$  и очень слабо зависит от температуры (см. таблицу). С другой стороны, только двукратно ионизованные центры олова  $[Sh]^{2+}$  обнаруживаются в компенсированных дырочных образцах с  $x = 0.01$ ,  $y = 0.02$ , и изомерный сдвиг спектров слабо зависит от температуры и соответствует  $Sn^{4+}$  (см. таблицу).

Для изучения процессов электронного обмена между центрами олова в PbS был синтезирован образец с составом  $x = 0.02$ ,  $y = 0.02$  (образец был дырочным, причем  $p = 6 \cdot 10^{13} \text{ см}^{-3}$  при 80 К и  $6 \cdot 10^{16} \text{ см}^{-3}$  при 295 К). Как видно из таблицы, в спектре этого образца при 80 и 295 К наблюдались только линии  $Sn^{2+}$  и  $Sn^{4+}$ , изомерные сдвиги которых практически совпадают с изомерными сдвигами рассмотренных выше центров  $[Sn]^0$  и  $[Sn]^{2+}$  и наблюдается лишь незначительное сближение этих линий. Сближение линий не зависит от концентрации примесных атомов олова (см. таблицу). Иными словами, в PbS процесс электронного обмена между центрами  $[Sn]^0$  и  $[Sn]^{2+}$  протекает значительно более медленно, чем в PbSe. Для объяснения этого явления следует иметь в виду, что скорость электронного обмена контролируется состояниями в валентной зоне и, очевидно, в PbSe этот процесс облегчается за счет того, что уровни 5s-электронов олова располагаются в валентной зоне. Наконец, если один из этапов перезарядки центров олова связан с захватом дырки, то наиболее благоприятные условия для обмена реализуются в PbSe, поскольку в этом материале концентрации дырок значительно выше, чем в PbS.

В заключение отметим, что в эмиссионных мессбауэровских спектрах  $^{119m}\text{Sn}$  для образца  $Pb_{1-x-y}Sn_xA_yS$  ( $x = 0.02$ ,  $y = 0.02$ ) наблюдаются те же особенности, что и для аналогичных спектров образца  $Pb_{1-x-y}Sn_xA_ySe$  ( $x = 0.017$ ,  $y = 0.02$ ) (см. таблицу), и их объяснение может быть дано в рамках уже обсужденной модели.

### 3. Заключение

Методом эмиссионной мессбауэровской спектроскопии на изотопе  $^{57}\text{Co}$ ( $^{57m}\text{Fe}$ ) обнаружен процесс быстрого электронного обмена между нейтральными и ионизованными акцепторными центрами железа в частично компенсированном GaP: время жизни центров  $[Fe]^0$  и  $[Fe]^-$  при температуре 295 К не превышает  $10^{-9}$  с и в мессбауэровском спектре

наблюдается усредненное состояние атомов железа. Оценка величины времени жизни центра  $[Fe]^0 \tau_n$ , проведенная в предположении, что электронный обмен между центрами железа осуществляется дырками через валентную зону, показала удовлетворительное согласие с данными мессбауэровской спектроскопии.

Методом мессбауэровской спектроскопии на изотопе  $^{119}Sn$  продемонстрирован процесс быстрого электронного обмена между нейтральными и ионизованными донорными центрами олова в частично компенсированном PbSe, причем частота обмена растет с ростом температуры, не зависит от концентрации центров олова, а сам процесс связан с одновременным переносом двух электронов. Сделан вывод, что двухэлектронный обмен между центрами олова осуществляется путем переноса дырок по валентной зоне, причем предполагается существование энергетического барьера между локализованными состояниями примесных атомов олова и делокализованными состояниями валентной зоны.

Работа выполнена при финансовой поддержке Российского фонда фундаментальных исследований (грант № 96-02-16957-а).

#### Список литературы

- [1] В.Ф. Мастеров, Ф.С. Насрединов, С.А. Немов, П.П. Серегин. ФТП, 30, 840 (1996).
- [2] A. Zunger. Sol. St. Phys. 39, 275 (1986).
- [3] В.Ф. Мастеров, Б.Е. Саморуков, В.К. Соболевский. ФТП, 12, 2346 (1978).

Редактор Т.А. Полянская

**Investigation of one- and two-electron exchange between neutral and ionized impurity centers on semiconductors by the Mössbauer spectroscopy**

*V.F.Masterov, F.S.Nasredinov, S.A.Nemov, P.P.Seregin*

State Technical University, 195251 St.Petersburg, Russia

The fast one-electron exchange between neutral and ionized iron acceptor centers in compensated GaP, as well as the two-electron exchange between neutral and ionized tin donor centers in the compensated PbSe, were investigated by the Mössbauer spectroscopy. In both cases the exchange was found to be carried out via valence band states.